

## ПОИСК ВСПЫШЕК КОСМИЧЕСКОГО ГАММА-ИЗЛУЧЕНИЯ ПРИ ЭНЕРГИИ $E_{\gamma} \geq 100 \text{ Мэв}$

А.И.Беллевский, В.Л.Боков, В.К.Бочаркин,  
И.Ф.Бугаков, Г.М.Городинский, Ю.Г.Деревицкий,  
Е.М.Круглов, Г.А.Пятигорский, Е.И.Чуйкин.

По данным о распределении числа интервалов времени с заданным количеством фотонов, зарегистрированных  $\gamma$ -телескопом на ИСЗ "Космос-561" оценен верхний предел частоты появления вспышек космического гамма-излучения при энергии  $E_{\gamma} \geq 100 \text{ Мэв}$ . Приведены усредненные энергетические и временные характеристики вспышки.

Устройство  $\gamma$ -телескопа с акустическими искровыми камерами приведено в работе [1]. Здесь существенно отметить, что монитор, вырабатывающий импульс запуска искровых камер, состоит из трех детекторов: Д1, Д2 и "4", включенных в схему совпадений. Детектор Д1 отбирает две однозарядные частицы. Детектор Д2 срабатывает от одной однозарядной частицы. Детектор "4" представля-

ет собой черенковский спектрометр полного поглощения толщиной 4,3 rad ед. дл., настроенный на выделение энергии  $E_{\gamma} \geq 100$  МэВ. Таким образом, монитор срабатывает при следующих условиях. 1)  $\gamma$ -квант высокой энергии конвертирует в электронно-позитронную пару в радиаторе, помещенном непосредственно над Д1. 2) Пара пересекает Д1. 3) Пара или одна из ее компонент пересекает Д2. 4) Пара или одна из ее компонент выделяет в "4" энергию большую 100 МэВ. Регистрация заряженных частиц исключается сцинтилляционным экраном, окружающим Д1 и искровые камеры.

После каждого срабатывания искровые камеры блокируются на время  $\Delta t = 33,55$  сек, называемое интервалом блокировки. Счетчики  $C_1$  и  $C_2$  подсчитывают число гамма-квантов и число двойных совпадений за интервал блокировки.

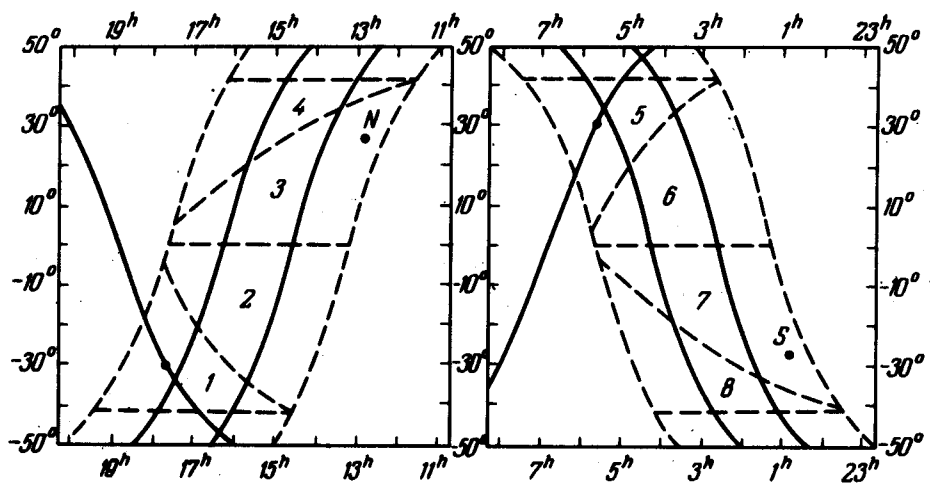


Рис. 1. Участок неба, обозреваемый  $\gamma$ -телескопом в полете.  $N$  и  $S$  соответственно северный и южный полюсы Галактики

Гамма-телескоп был выведен на орбиту ИСЗ "Космос-561" 25 мая 1973 г. [2]. В полете спутник был ориентирован таким образом, что ось гамма-телескопа всегда была направлена в зенит. На рис. 1 в экваториальной системе координат сплошными линиями (в пределах  $\delta = \pm 45^\circ$ ) показан след оси телескопа на небесной сфере для 2-го и 114-го витков, а также галактический экватор. Участок неба, наблюдаемый прибором, ограничен пунктирными линиями, параллельными траектории. Он разбит на восемь соизмеримых, но не равных по площади, областей с индексом  $i = 1, 2, \dots, 8$ . Точками на галактическом экваторе в областях 1 и 5 показаны направления на центр и антицентр Галактики, соответственно.

Из-за геомагнитных эффектов средние значения показаний  $C_1$  в пределах каждой области существенно меняются во времени. Для исключения влияния магнитного поля использован метод обработки, предло-

женный в работе [3]. Согласно этому методу, каждая из восьми областей разбита на 20 зон с индексом  $j = 1, 2, \dots, 20$  по градациям показаний монитора двойных совпадений  $C_2$ . Для фиксированных  $i$  и  $j$  плотность распределения  $C_y$  в отсутствие вспышек должна следовать распределению Пуассона с точностью до статистических отклонений.

$$a_{nij} = a_{ij} P_n(\lambda_{ij}), \quad n = 0, 1, 2, \dots, 7, \quad (1)$$

где  $a_{nij}$  — расчетное число интервалов  $\Delta t$ , в которых показания счетчика  $C_y$  оказались равными  $n$ ;  $a_{ij}$  — полное число интервалов для  $i$ -й области и  $j$ -й зоны;  $P_n(\lambda_{ij}) = \frac{(\lambda_{ij})^n}{n!} e^{-\lambda_{ij}}$  — распределение Пуассона со средним значением  $\lambda_{ij}$  показаний  $C_y$ .

Для каждой из областей  $i$  распределение  $a_{ni}$  получается суммированием (1) по индексу  $j$ . Аналогично, для всей совокупности значений  $C_y$  по восьми областям распределение  $a_n$  получается суммированием (1) по индексам  $i$  и  $j$ . Экспериментальные распределения для областей  $i$  и для всей совокупности обозначаются соответственно через  $b_{ni}$  и  $b_n$ .

Если за время работы телескопа были зарегистрированы вспышки  $\gamma$ -квантов высоких энергий, то это должно проявиться в превышении значений "b" по сравнению с "a" на "хвосте" распределения, т. е.

$$\begin{aligned} b_{ni} &> a_{ni} & \text{для } n = 6, 7 \\ b_n &> a_n \end{aligned}$$

На рис. 2 сплошными кривыми представлены расчетные плотности распределения интервалов, построенные по совокупным данным всех восьми областей (верхняя кривая) и отдельно для пятой области (нижняя кривая). Точками обозначены экспериментальные значения  $b_n$  и  $b_{n5}$ . "Усы" соответствуют одной средней квадратичной ошибке  $\sigma$ . Из рис. 2 видно, что для  $n = 6$  имеет место превышение экспериментальных значений над расчетными на  $2$  и  $3\sigma$ , соответственно, для верхней и нижней кривой. Превышения, аналогичные пятой области, наблюдаются для второй и четвертой областей<sup>1)</sup> (см. рис. 1). Наблюдаемые выбросы трудно объяснить случайными флуктуациями, так как вероятность получения одного отклонения на  $3\sigma$  равна 0,0027.

Анализ работы аппаратуры и контрольные опыты показали, что появление избытка на "хвосте" распределения не удается объяснить и за счет систематических ошибок. Поэтому можно предположить, что в процессе эксперимента было зарегистрировано несколько вспышек гамма-лучей с энергией  $E_\gamma \geq 100$  МэВ. Эти пачки  $\gamma$ -квантов, соответствующие  $n \geq 6$  могли прийти от удаленных астрофизических объектов, хо-

<sup>1)</sup> Оценка  $\sigma$  проводилась по критерию Коффена [4].

тъ нельзя полностью исключить возможность порождения их в корпусе спутника струями заряженных частиц высокой энергии.

Оценка частоты появления вспышек по данным таблицы для совокупности всех областей приводит к верхнему пределу  $N_{\text{совп}} \leq 2,7 \cdot 10^{-4}$

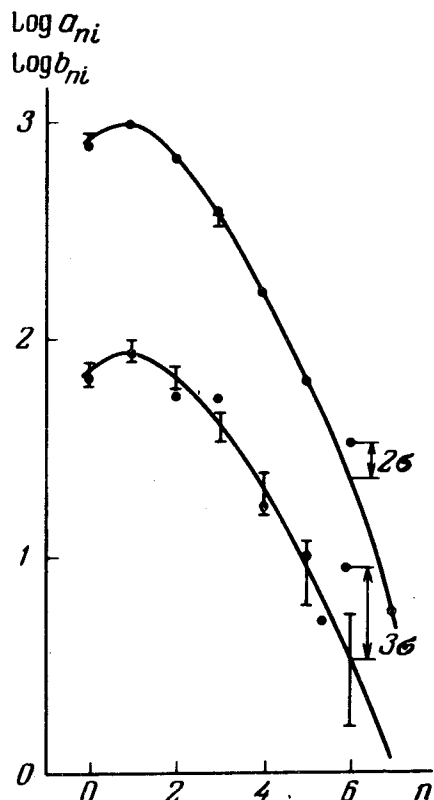


Рис. 2. Плотность распределения интервалов для восьми областей и для пятой области (нижняя кривая)

вспышек  $\text{сек}^{-1} \cdot \text{стэр}^{-1}$ . Длительность вспышек  $\tau$  заключена в пределах  $2 \cdot 10^{-5} < \tau < 33,55 \text{ сек}$ . Нижний предел, ставится постоянной времени на входе счетчика  $C_y$ .

Принимая число квантов, регистрируемых во вспышке,  $n_y = 4$ , эффективную площадь  $\gamma$ -телескопа  $S = 300 \text{ см}^2$ , эффективность регистрации  $\gamma$ -квантов ( $E_y \geq 100 \text{ МэВ}$ )  $\epsilon = 0,15$ , получим число  $\gamma$ -квантов на  $1 \text{ см}^2$ , на одну вспышку  $n_y^o \approx 0,1 \text{ кв} \cdot \text{см}^{-2} \text{ вспышка}^{-1}$  и соответственно энергию  $w = n_y^o \cdot E_y \approx 10 \text{ мэв} \cdot \text{см}^{-2} \cdot \text{вспышка}^{-1} \approx 1,6 \cdot 10^{-5} \text{ эрг} \cdot \text{см}^{-2} \cdot \text{вспышка}^{-1}$ . Низкие оценки частоты вспышек и энергии приводят к следующим значениям  $N_{\text{совп}} \sim 10^{-4} \text{ вспышка} \cdot \text{сек}^{-1} \cdot \text{стэр}^{-1}$ ,  $w = 3 \cdot 10^{-6} \text{ эрг} \cdot \text{см}^{-2} \text{ вспышка}^{-1}$ .

Если предположить, что источник вспышек из пятой области локализован в Крабовидной туманности ( $R = 1700 \text{ pc}$ ), то верхний предел энергии вспышки в источнике  $W_y = 4\pi R^2 n^o E_y = 5 \cdot 10^{39} \text{ эрг} \cdot \text{вспышка}^{-1}$ , а средняя энергия излучаемая в единицу времени  $L_y (> 100 \text{ МэВ}) = W_y \Delta a / t = 2 \cdot 10^{36} \text{ эрг} \cdot \text{сек}^{-1}$ , что близко по величине к светимости пульсара  $NP 0532$  в рентгеновских лучах  $L_x \approx 2,5 \cdot 10^{36} \text{ эрг} \cdot \text{сек}^{-1}$  [5]. Верхний пре-

дел потока  $\gamma$ -квантов с  $E_\gamma \geq 100 \text{ МэВ}$  от вспышки оказывается равным для  $NP\ 0532$   $F_\gamma(E_\gamma \geq 100 \text{ МэВ}) = n_\gamma \Delta a / S \epsilon t = 4 \cdot 10^{-5} \text{ см}^{-2} \cdot \text{сек}^{-1}$ .

Перенеся источник вспышки за пределы Галактики на расстояние порядка  $Mpc$ , получим верхний предел энергии  $W_\gamma \sim 2 \cdot 10^{45} \text{ эрг} \cdot \text{вспышка}^{-1}$ .

Физико-технический институт  
им. А.Ф.Иоффе  
Академии наук СССР

Поступила в редакцию  
21 ноября 1974 г.  
После переработки  
26 мая 1975 г.

### Литература

- [1] А.И.Беляевский, В.Л.Боков, В.К.Бочаркин, И.Ф.Бугаков, Ю.Г.Деревицкий, Г.М.Городинский, Е.М.Круглов, Г.А.Пятигорский, Е.И.Чуйкин. Изв. АН СССР, сер. физ., **38**, 1838, 1974.
- [2] Газета "Правда" 26 мая, 1973.
- [3] А.И.Беляевский, В.Л.Боков, В.К.Бочаркин, И.Ф.Бугаков, Ю.Г.Деревицкий, Г.М.Городинский, Е.М.Круглов, Г.А.Пятигорский, Е.И.Чуйкин. ДАН СССР, **219**, 836, 1974.
- [4] С.Р.Рао. Линейные статистические методы и их применения. М., изд. Наука, 1968, стр. 344.
- [5] J. D. Kurfess. Astrophys. J., **168**, 39, 1971.